

# MIMO 技术

zfdzr

2020 年 9 月 15 日起

## 目录

<b>第一部分 MIMO 检测</b>	<b>3</b>
<b>1 点对点 MIMO 检测</b>	<b>3</b>
1.1 系统模型	3
1.2 经典检测方法	3
1.2.1 MF 检测	3
1.2.2 ZF 检测	4
1.2.3 MMSE 检测	4
1.2.4 ZF-SIC 检测	5
1.2.5 MMSE-SIC 检测	5
1.2.6 总结	5
1.3 Massive MIMO 检测器	7
1.3.1 基于近似求逆的线性检测器	7
1.3.2 Newton Iteration Method	7
1.3.3 Gauss-Seidel Method	7
1.3.4 Successive Over-Relaxation	7
1.3.5 Jacobi Method	7
1.3.6 Richardson Method	7
1.3.7 Conjugate Gradients Method	7

1.3.8	Lanczos Method . . . . .	7
1.3.9	Residual Method . . . . .	7
1.3.10	Coordinate Descent Method . . . . .	7
1.4	基于局部搜索的检测器 . . . . .	7
1.4.1	Likelihood Ascent Search . . . . .	7
1.4.2	Reactive Tabu Search . . . . .	7
1.5	基于置信传播的检测器 . . . . .	7
1.6	BOX Detection . . . . .	7
1.7	Sparsity Based Algorithms . . . . .	7
1.8	小尺度 MIMO 检测器在大尺度 MIMO 检测中的应用 . . . . .	7
1.8.1	Successive Interference Cancellation . . . . .	7
1.8.2	Lattice Reduction-Aided Algorithms . . . . .	7
1.8.3	Sphere Decoder . . . . .	7
1.9	基于 AI 的 MIMO 检测方法 . . . . .	7
<b>第二部分 MIMO 预编码</b>		<b>7</b>
<b>2</b>	<b>点对点 MIMO 系统</b>	<b>7</b>
2.1	系统模型 . . . . .	7
2.2	系统容量 . . . . .	8
2.3	传输侧无 CSI . . . . .	8
2.4	传输侧有 CSI . . . . .	9
2.5	MIMO 注水算法 . . . . .	10
2.6	经典预编码算法 . . . . .	10
2.6.1	线性预编码 . . . . .	11
2.7	基于 AI 的预编码算法 . . . . .	12
<b>3</b>	<b>多用户 MIMO 下行系统</b>	<b>14</b>
3.1	系统模型 . . . . .	14
3.2	MRT 预编码 . . . . .	15
3.3	基于广义信道求逆的预编码 . . . . .	16
3.3.1	ZF 预编码 . . . . .	16

3.3.2 RZF 预编码	17
3.4 系统模型	18
<b>第三部分 LAtex 语法学习</b>	<b>18</b>
<b>4 Latex 语法学习</b>	<b>18</b>
4.1 伪代码	18
4.2 超链接	18
4.3 插入图片	20
4.4 tikz 绘图	20
<b>5 Latex 字体</b>	<b>22</b>
5.1 Latex 字母的三类字体	22

## 第一部分 MIMO 检测

### 1 点对点 MIMO 检测

#### 1.1 系统模型

$$y = Hx + z$$

#### 1.2 经典检测方法

##### 1.2.1 MF 检测

$$\hat{x}_{MF} = H^H y \quad (1)$$

匹配滤波器，又称最大比合并，目标是最大化接收信噪比。

- 优点：复杂度低，不需要矩阵求逆运算

- 缺点：对于病态矩阵（ill-conditioned），检测性能严重劣化

### 1.2.2 ZF 检测

$$\hat{x}_{ZF} = G_{ZF}y \quad (2)$$

其中  $G_{ZF} = (H^H H)^{-1} H^H$ ，目标是最大化接收信干噪比（received signal-to-interference ration）

- 优点：性能优于 MF（复杂度较 MF 高）
- 缺点：对忽略噪声的影响，与 MF 类似，会有噪声加强的副作用

### 1.2.3 MMSE 检测

MMSE 检测是优化问题的解：

$$\begin{aligned} G_{MMSE} &= \arg \min_{G \in \mathbb{C}^{N_t \times N_r}} \|x - Gy\|^2 \\ &= \arg \min_G E\{\|Gy - x\|^2\} = (H^H H + \sigma^2 I_{N_t})^{-1} H^H \end{aligned} \quad (3)$$

于是，MMSE 检测表达式为：

$$\hat{x}_{MMSE} = G_{MMSE}y \quad (4)$$

*regularized channel inversion*

$$\underline{H} = \begin{bmatrix} H \\ \sigma^2 I_{N_t} \end{bmatrix} \text{ and } \underline{y} = \begin{bmatrix} y \\ 0_{N_t \times 1} \end{bmatrix} \quad (5)$$

Then

$$G_{MMSE} = (\underline{H}^H \underline{H})^{-1} \underline{H}^H \quad (6)$$

- 优点：有效解决了 ZF 和 MF 导致的噪声加强问题，能够在噪声功率较大（信噪比较低时）时获得较大的性能增益
- 缺点：需要对噪声功率谱密度的先验信息，且需要矩阵求逆

#### 1.2.4 ZF-SIC 检测

#### 1.2.5 MMSE-SIC 检测

#### 1.2.6 总结

最早的大规模 MIMO 检测器是在 2008 年由 Vardhan et al. [?] 提出的, 是基于最大似然搜索的。紧接着, 研究者提出了使用局部搜索和置信传播提出了近似 ML 的检测器。但是随着天线数目的增加, 矩阵求逆操作的复杂度呈指数增长, 计算复杂度急剧上升, 为了解决这个问题, 2013 年, Wu et al. [?] 提出了基于近似求逆方法的上行检测器。



### **1.3 Massive MIMO 检测器**

#### **1.3.1 基于近似求逆的线性检测器**

#### **1.3.2 Newton Iteration Method**

#### **1.3.3 Gauss-Seidel Method**

#### **1.3.4 Successive Over-Relaxation**

#### **1.3.5 Jacobi Method**

#### **1.3.6 Richardson Method**

#### **1.3.7 Conjugate Gradients Method**

#### **1.3.8 Lanczos Method**

#### **1.3.9 Residual Method**

#### **1.3.10 Coordinate Descent Method**

### **1.4 基于局部搜索的检测器**

#### **1.4.1 Likelihood Ascent Search**

#### **1.4.2 Reactive Tabu Search**

### **1.5 基于置信传播的检测器**

### **1.6 BOX Detection**

### **1.7 Sparsity Based Algorithms**

### **1.8 小尺度 MIMO 检测器在大尺度 MIMO 检测中的应用**

#### **1.8.1 Successive Interference Cancellation**

#### **1.8.2 Lattice Reduction-Aided Algorithms**

#### **1.8.3 Sphere Decoder**

### **1.9 基于 AI 的 MIMO 检测方法**

7

## **第二部分 MIMO 预编码**

### **2 点对点 MIMO 系统**

其中,  $y \in C^{N_r \times 1}$ ,  $x \in C^{N_t \times 1}$ ,  $z \in C^{N_r \times 1}$ , 发送端总能量为  $E\{x^H x\} = P$ , 噪声功率谱密度为  $N_0$ , 即  $E\{zz^H\} = N_0 I_{N_r}$ , 且

$$\begin{aligned} R_{yy} &= E\{yy^H\} \\ &= HR_{xx}H^H + N_0 I_{N_r} \end{aligned} \quad (8)$$

## 2.2 系统容量

$$\begin{aligned} I(x; y) &= H(x) - H(x|y) \\ &= H(y) - H(y|x) \\ &= H(y) - H(Hx + z|x) \\ &= H(y) - H(z|x) \\ &= H(y) - H(z) \end{aligned} \quad (9)$$

其中,  $z$  是满足复高斯随机分布的多维向量, 因此当且仅当  $y$  也满足复高斯随机分布时, 上式取得最大值, 且

$$\begin{aligned} H(y) &= \log_2 |\pi e R_{yy}| = \log_2 |\pi e H R_{xx} H^H + \pi e N_0 I_{N_r}| \\ H(z) &= \log_2 |\pi e N_0 I_{N_r}| \end{aligned} \quad (10)$$

于是,

$$I(x; y) = \log_2 \left| I_{N_r} + \frac{H R_{xx} H^H}{N_0} \right| \quad (11)$$

## 2.3 传输侧无 CSI

假设每根天线上的发送信号能量相等且相互独立, 即  $R_{xx} = \frac{P}{N_t} I_{N_t}$ , 则

$$\begin{aligned} C &= \log_2 \left| I_{N_r} + \frac{P}{N_t N_0} H H^H \right| \\ &= \sum_{i=1}^{N_t} \log_2 \left( 1 + \frac{P}{N_t N_0} \lambda_i \right) \end{aligned} \quad (12)$$



## 2.4 传输侧有 CSI

预编码提高信道容量

对信道矩阵  $H$  使用 SVD 分解, 即  $H = U\Sigma V^H$ , 一般假设  $N_r > N_t$ , 则

$$\Sigma = \begin{bmatrix} \sqrt{\lambda_1} & 0 & \cdots & 0 \\ 0 & \sqrt{\lambda_2} & \cdots & 0 \\ \vdots & \vdots & \ddots & \vdots \\ 0 & 0 & \cdots & \sqrt{\lambda_{N_t}} \\ \vdots & \vdots & \vdots & \vdots \\ 0 & 0 & 0 & 0 \end{bmatrix} \quad (13)$$

令调制后信号能量表示为  $\tilde{x}$ , 预编码后的发送信号能量为  $x = V^H \tilde{x}$ , 则

$$\begin{aligned} y &= Hx + z \\ &= U\Sigma V^H V \tilde{x} + z \\ &= U\Sigma \tilde{x} + z \end{aligned} \quad (14)$$

$$U^H y = U^H U \Sigma \tilde{x} + U^H z \Rightarrow \tilde{y} = \Sigma \tilde{x} + \tilde{z} \quad (15)$$

上式展开为

$$\begin{bmatrix} \tilde{y}_1 \\ \tilde{y}_2 \\ \vdots \\ \tilde{y}_{N_t} \\ \vdots \\ \tilde{y}_{N_r} \end{bmatrix} = \begin{bmatrix} \sqrt{\lambda_1} & 0 & \cdots & 0 \\ 0 & \sqrt{\lambda_2} & \cdots & 0 \\ \vdots & \vdots & \ddots & \vdots \\ 0 & 0 & \cdots & \sqrt{\lambda_{N_t}} \\ \vdots & \vdots & \vdots & \vdots \\ 0 & 0 & 0 & 0 \end{bmatrix} \begin{bmatrix} \tilde{x}_1 \\ \tilde{x}_2 \\ \vdots \\ \tilde{x}_{N_t} \end{bmatrix} + \begin{bmatrix} \tilde{z}_1 \\ \tilde{z}_2 \\ \vdots \\ \tilde{z}_{N_t} \\ \vdots \\ \tilde{z}_{N_r} \end{bmatrix} \quad (16)$$

即

$$\tilde{y}_i = \sqrt{\lambda_i} \tilde{x}_i + \tilde{z}_i, i = 1, \dots, r. \square \square r = N_t \quad (17)$$

原始的 MIMO 信道等效为  $r$  个 SISO 信道, 每个 SISO 信道的信道容量可以表示为:

$$C_i(P_i) = \log_2(1 + \frac{\lambda_i P_i}{N_0}) \quad (18)$$

其中,  $P_i$  表示第  $i$  根天线上的信号能量, 且

$$E\{x^H x\} = \sum_{i=1}^{N_t} E\{|x_i|^2\} = \sum_{i=1}^{N_t} P_i = P \quad (19)$$

于是, 信道总容量为:

$$C = \sum_{i=1}^{N_t} C_i(P_i) = \sum_{i=1}^{N_t} \log_2(1 + \frac{\lambda_i P_i}{N_0}) \quad (20)$$

可以通过注水算法优化功率分配, 达到更大的信道容量, 即

$$\begin{aligned} C = \arg \max_{\{P_i\}} \sum_{i=1}^{N_t} C_i(P_i) &= \sum_{i=1}^{N_t} \log_2(1 + \frac{\lambda_i P_i}{N_0}) \\ s.t. \sum_{i=1}^{N_t} P_i &= P \end{aligned} \quad (21)$$

最优解为

$$\begin{aligned} P_i^{opt} &= (\mu - \frac{N_0}{\lambda_i})^+, i = 1, \dots, r \\ \sum_{i=1}^{N_t} P_i &= P \end{aligned} \quad (22)$$

## 2.5 MIMO 注水算法

---

### Algorithm 1: 注水算法

---

Step1: 迭代计算  $p=1$ , 计算  $\mu = \frac{N_t}{r-p+1}$

Step2: 用  $\mu$  计算  $\gamma_i = \mu - \frac{N_t N_0}{E_x \lambda_i}, i = 1, 2, \dots, r - p + 1$

Step3: 若分配到最小增益的信道能量为负值, 即设

$\gamma_{r-p+1} = 0, p = p + 1$ , 转至 Step1

若任意  $\gamma_i$  非负, 即得到最佳注水功率分配策略

---

## 2.6 经典预编码算法

参考文献 [?]

**起源** MIMO 无线通信技术最早广泛应用于 WiFi 技术上 (IEEE 802.11ac/n), WiMax 技术 (IEEE 802.16e), 4G(LTE/LTE-A) 等系统。最早的 MIMO 思想来源于点对点的 MIMO 系统, 接着发展出了 MU-MIMO, 每个用户配备一个单天线。

### 2.6.1 线性预编码

#### Matched Filter(MF)

$$W_{MF} = \sqrt{\alpha} H^H \quad (23)$$

#### ZF

$$W_{ZF} = \sqrt{\alpha} H (H^H H)^{-1} \quad (24)$$

#### RZF(或 MMSE)

$$W_{MMSE} = \sqrt{\alpha} H (H^H H + X + \lambda I_K)^{-1} \quad (25)$$

#### TPE

$$W_{TPE} = \sum_{j=0}^{J-1} w_j (H^H H)^j H^H \quad (26)$$

**优缺点对比** 优缺点如图1所示。

TABLE II  
ADVANTAGES AND DISADVANTAGES OF THE MF, ZF, RZF, TPE, AND PZF PRECODING TECHNIQUES

SC precoding techniques	Advantages	Disadvantages
MF	-Near optimal performance if there are more BS antennas than users -Low computational complexity -Better performance at lower SNRs	-Unable to achieve full diversity at high spectral efficiency -Suffering from error floors for all positive multiplexing gains -Having lower achievable rate in the case of less BS antennas -Not robust against interuser interference
ZF	-Low computational complexity -Higher power efficient -Better performance at high SNRs -Decoupling a multi-user channel into independent single-user channels -Achieving a large portion of dirty paper coding capacity	-Noise amplification and power penalty if the channel is highly correlated -Unable to support too many users -Medium complexity
RZF	-Guaranteed optimality if the ratio between the SINR requirement and the average channel attenuation is the same for all users	-Requiring matrix inverse calculation, leading to high complexity -Suffering from error floors for all positive multiplexing gains
TPE	-Scalable computational complexity, thus computationally efficient -Balancing precoding complexity and system throughput -More suitable for real-time hardware implementation	-Lower order techniques having limited performance -Higher performance requiring considerably more hardware
PZF	-Highly desirable closed-form performance -Low complexity -Facilitating multistream processing -Large power gain	-Spectral efficiency being tightly upper bounded by the ZF precoder

图 1: 优缺点对比

## 2.7 基于 AI 的预编码算法

1. *Kyeongbo Kong, Woo-Jin Song, Moonsik Min, Deep-learning-based precoding in multiuser MIMO downlink channels with limited feedback, 2008.0417*

基于深度学习的均衡，反馈和预编码，下行 MU-MIMO 系统。基站侧发送预编码使用 transmitter DNN 实现，每个 receiver DNN 引入二值化层来模仿量化过程，从而使能端到端训练。由于二值化层的引入导致网络的梯度失真从而容易陷入局部极小值，网络训练过程中引入了辅助训练网络作为教导网络，有效避免陷入局部极小值。与传统的线性预编码相比，该网络通过端到端训练达到了更高的和速率。

2. *Novel MMSE Precoder and Decoder Designs Subject to Per-antenna Power Constraint for Uplink Multiuser MIMO Systems, I-Tai Lu, Jialing Li and Enoch Lu, 2009*

关于多用户 MIMO 上行预编码的文章，理论比较多。文中提到，最经典的点对点 MIMO 系统在发送总功率一定时，最优预编码矩阵有最优解，但是在每根天线的功率有限或扩展到多用户 MIMO，闭式解不存在，对于 MU-MIMO，每个用户总功率有限时，可以通过两种方法寻找数值解，TCIO 和 GIA。

3. *Evolution of Uplink MIMO for LTE-Advanced*

LTE 中上行 MIMO 的技术介绍

4. *Deep Learning based Hybrid Precoding for mmWave Massive MIMO system using ComcepNet, 2020.7*

提出了新的预编码网络结构” ComcepNet “，该网络结合了复数卷积块和 Inception 网络的特征，展现了比 autoprecoder 更好的性能。

5. *Deep Learning Based Precoder Design in MIMO Systems with Finite-Alphabet Inputs, 2020*

有限元预编码

6. *Deep Learning for Distributed Channel Feedback and Multiuser Precoding in FDD Massive MIMO, 20.07*

多用户信道估计和反馈问题可以视为一个分布式信源编码问题。与传统的每个用户独立估计信道信息不同，文章提出联合设计导频并且接收端使用 DNN 直接将接收导频映射为反馈 bit，然后基站将所有用户的反馈 bit 直接映射为预编码矩阵，可以显著低提高整机性能。文章进一步提出鲁棒化设计策略，并且泛化 DNN 结构使之适应可变用户和可变的反馈 bit。Numerical results show that the DNN-based approach with short pilot sequences and very limited feedback overhead can already approach the performance of conventional linear precoding schemes with full CSI.

7. *Deep Unfolding for Communications Systems: A Survey and Some New Directions*, 2019

本文综述了深度展开的原理，并讨论了其在通信系统中的最新应用，重点讨论了多天线 (MIMO) 无线系统中的检测和预编码以及纠错码的信念传播译码。

8. *Deep reinforcement learning approach to MIMO precoding problem: Optimality and Robustness*, 2020

强化学习

9. *Model-Driven Deep Learning for Massive Multiuser MIMO Constant Envelope Precoding*

常包络预编码设计可以显著降低硬件损耗和功率损耗，但是已有的常包络预编码算法计算复杂度高。文章提出使用模型驱动的方式将深度学习与 conjugate gradient algorithm 结合，原始迭代算法展开并添加可训练参数，通过数据学习有效的参数。仿真结果表明该网络能有效抑制多用户干扰和计算复杂度。

10.

### 3 多用户 MIMO 下行系统

#### 3.1 系统模型

考虑一个由基站和  $K$  个相互独立的用户组成的单小区下行多用户 MIMO 系统，其中基站配置  $M$  根天线，用户  $k$  配置  $N_k$  根天线 ( $k = 1, 2, \dots, K$ )。设基站向用户  $k$  发送的数据向量为  $\mathbf{s}_k = [s_{k1}, s_{k2}, \dots, s_{kN_k}]^T$ ，且每个用户的数据向量相互独立，发给每个用户的数据向量都经过一个预编码矩阵  $\mathbf{V}_k \in \mathbb{C}^{M \times L_k}$ ，其中  $L_k$  为用户  $k$  所支持的数据流数目，满足  $L_k \leq N_k$ ，则基站发送的信号为：

$$\begin{aligned} \mathbf{x} &= \sum_{i=1}^K \mathbf{V}_i \mathbf{s}_i \\ &= [\mathbf{V}_1, \mathbf{V}_2, \dots, \mathbf{V}_K] \begin{bmatrix} \mathbf{s}_1 \\ \mathbf{s}_2 \\ \vdots \\ \mathbf{s}_K \end{bmatrix} \\ &= \mathbf{V} \mathbf{s} \end{aligned} \quad (27)$$

假设基站端发射功率限制为  $P$ ，那么发送信号满足条件：

$$\begin{aligned} \mathbb{E}\{tr(\mathbf{x}\mathbf{x}^H)\} &= \mathbb{E}\{tr(\mathbf{V}\mathbf{s}(\mathbf{V}\mathbf{s})^H)\} \\ &= \mathbb{E}\{tr(\mathbf{V}\mathbf{V}^H)\} \\ &= \sum_{i=1}^K tr(\mathbf{V}_i \mathbf{V}_i^H) \leq P \end{aligned} \quad (28)$$

用户  $k$  的接收信号可以表示为

$$\begin{aligned} \mathbf{y}_k &= \mathbf{H}_k \mathbf{x} + \mathbf{n}_k \\ &= \mathbf{H}_k \sum_{i=1}^K \mathbf{V}_i \mathbf{s}_i + \mathbf{n}_k \end{aligned} \quad (29)$$

其中， $\mathbf{H}_k \in \mathbb{C}^{N_k \times M}$  为基站到用户的信道矩阵， $\mathbf{n}_k \sim \mathcal{CN}(\mathbf{0}, \sigma^2 \mathbf{I}_{N_k})$  表示相应的加性独立同分布 (i.i.d) 高斯白噪声向量。将所有用户的接收信号统一表

示为

$$\mathbf{y} = \mathbf{H}\mathbf{x} + \mathbf{n} = \begin{bmatrix} \mathbf{H}_1 \\ \mathbf{H}_2 \\ \vdots \\ \mathbf{H}_K \end{bmatrix} \mathbf{x} + \mathbf{n} \quad (30)$$

$$\text{式中, } \mathbf{H} = \begin{bmatrix} \mathbf{H}_1 \\ \mathbf{H}_2 \\ \vdots \\ \mathbf{H}_K \end{bmatrix} = \begin{bmatrix} h_{11} & h_{12} & \cdots & h_{1M} \\ h_{21} & h_{22} & \cdots & h_{2M} \\ \vdots & \vdots & \ddots & \vdots \\ h_{K1} & h_{K2} & \cdots & h_{KM} \end{bmatrix} \in \mathbb{C}^{\sum_{k=1}^K N_k \times M} \text{ 表示基}$$

站到用户的总信道矩阵, 其中元素  $h_{ij}$  也是一个矩阵, 表示第  $j$  根天线到第  $i$  个用户的信道矩阵。

假设用户信道是平坦衰落的, 基站端可以通过信道估计获得准确的信道状态信息, 并且假设移动端知道自己的信道状态信息。下行链路 CSI 的获取: TDD  $\Rightarrow$  利用上下行信道互译性原理; FDD  $\Rightarrow$  CSI 反馈。

将式 30 写为如下形式:

$$\begin{aligned} \mathbf{y}_k &= \mathbf{H}_k \sum_{i=1}^K \mathbf{V}_i \mathbf{s}_i + \mathbf{n}_k \\ &= \mathbf{H}_k \mathbf{V}_k \mathbf{s}_k + \mathbf{H}_k \sum_{i=1, i \neq k}^K \mathbf{V}_i \mathbf{s}_i + \mathbf{n}_k \end{aligned} \quad (31)$$

其中, 第一项表示期望接收信号, 第二项表示共信道干扰 (CCI) [也成为多用户干扰, MUI], 第三项是噪声项, 对于用户  $k$  来说第二项和第三项是毫无用处的, 会影响用户信号的正常接收, 因此线性预编码的主要目标就是在一定的功率限制条件下, 使得共信道干扰和噪声项的影响尽量小, 最大化期望接收信号。

### 3.2 MRT 预编码

由于可以平衡系统性能和计算复杂度, 最大比传输 (MRT) 预编码【又称作匹配滤波器 (MF) 预编码】是最简单易实现的预编码算法, 通过最大化接收信噪比 (SNR) 实现。在大规模 MIMO 系统中, 当基站天线数  $M$  足够大时, 最简单的 MRT 线性预编码方案便可以得到最优的系统性能。

在发射端已知完美信道状态信息的前提下，MRT 线性预编码矩阵为：

$$\mathbf{V} = \beta_{MRT} \mathbf{H}^H \quad (32)$$

(注：以上编码矩阵后可以加上功率分配矩阵组成整个预编码矩阵)

式中， $\beta_{MRT} = \sqrt{\frac{1}{\text{tr}(\mathbf{H}\mathbf{H}^H)}}$  为约束基站发送功率的约束因子。大规模 MIMO 系统中基站天线数的不断增加使得信道矩阵列向量之间逐渐呈现正交性，即不同终端间的干扰逐渐降低甚至被完全消除，因此最简单的 MRT 预编码下便可以获得最优的频谱效率和最好的信号传输质量，且复杂度最低。

传统 MIMO 系统中，匹配滤波预编码方案的侧重点在于接收端用户的信号增益最大化，但在多用户系统的场景下，随着传输信道相关性的提升，此方案由于没有考虑如何对用户间的干扰进行处理，将会导致整个系统性能快速下降。

### 3.3 基于广义信道求逆的预编码

#### 3.3.1 ZF 预编码

迫零预编码的主要思想是利用信道的伪逆矩阵形式对发送数据进行编码处理，以达到完全消除其他用户干扰（共信道干扰）的目的由32可知，为了消除 CCI(即让第二项为 0)，预编码矩阵需满足：

$$\mathbf{H}_k \mathbf{V}_i = \mathbf{0}, i = 1, 2, \dots, K, i \neq k \quad (33)$$

即，迫零预编码矩阵  $\mathbf{V}_k$  必须满足除目标用户  $k$  以外的其他用户联合信道矩阵  $\tilde{\mathbf{H}}_k = \begin{bmatrix} \mathbf{H}_1 \\ \vdots \\ \mathbf{H}_{k-1} \\ \mathbf{H}_{k+1} \\ \vdots \\ \mathbf{H}_K \end{bmatrix}$  的零空间内，信道矩阵的伪逆可以实现以上要求， $\mathbf{H}$  的伪逆矩阵为

$$\mathbf{H}^+ = \mathbf{H}^H (\mathbf{H}\mathbf{H}^H)^{-1} = [\mathbf{H}_1^+, \mathbf{H}_1^+, \dots, \mathbf{H}_K^+] \quad (34)$$



假设移动端都只配备单根天线，即  $N_k = 1, k = 1, 2, \dots, K$ ，则  $\mathbf{H}_k^+ \in \mathbb{C}^{M \times 1}, k = 1, 2, \dots, K$ ，为了使得预编码矩阵满足功率约束条件<sup>29</sup>，令

$$\mathbf{V}_k = \xi \mathbf{H}_k^+ \mathbf{P}_k^{1/2} \quad (35)$$

式中，功率控制参数满足  $\xi^2 = \frac{P}{\text{tr}(\mathbf{P}(\mathbf{H}\mathbf{H}^H)^{-1})}$ ， $\mathbf{P} = \text{diag}\{\mathbf{P}_1 \mathbf{P}_2 \dots \mathbf{P}_K\}$  是功率分配矩阵。

### 3.3.2 RZF 预编码

当移动端所处环境中缺少散射体，或者用户之间的距离很近，会导致信道矩阵会因为高度的相关性而成为病态矩阵（欠秩），因而产生噪声放大问题。在低信噪比的情况下，噪声放大问题会严重影响系统性能。正则化迫零预编码则不仅考虑了用户之间的信号干扰，也考虑了噪声问题，所以在性能上优于迫零预编码。

正则化迫零预编码主要是在信道求逆之前加上一个单位阵（此单位阵的作用即为减弱信道矩阵的相关性，避免求逆时产生噪声放大问题），以替代对信道的直接求逆，其编码形式为

$$\mathbf{V} = [\mathbf{V}_1 \ \mathbf{V}_2 \ \dots \ \mathbf{V}_K] = \xi \mathbf{H}^H (\mathbf{H}\mathbf{H}^H + \alpha \mathbf{I})^{-1} \mathbf{P}^{1/2} \quad (36)$$

式中， $\xi^2 = \frac{P}{\text{tr}(\mathbf{P}(\mathbf{H}\mathbf{H}^H + \alpha \mathbf{I})^{-1})}$  为功率归一化参数， $\mathbf{V}_k$  为用户  $k$  的预编码矩阵， $\mathbf{P} = \text{diag}\{\mathbf{P}_1 \mathbf{P}_2 \dots \mathbf{P}_K\}$  是功率分配矩阵， $\alpha$  为正则化因子，用来平衡用户间的干扰与信道噪声。根据最大化信号干扰噪声比（SINR）准则，最优化正则因子为

$$\alpha = K\sigma^2 \quad (37)$$

此时，正则化迫零预编码的性能是最优的，其既考虑了多用户接收信号之间干扰，又考虑了噪声因素的影响，不管是在高信噪比下还是低信噪比下，都有不错的性能表现。

### 3.4 系统模型

## 第三部分 LAtex 语法学习

### 4 Latex 语法学习

#### 4.1 伪代码

<http://hustsxh.is-programmer.com/posts/38801.html>

**algorithmic** 和 **algorithmics** `algorithmic` 和 `algorithmicx`, 这两个包很像, 很多命令都是一样的, 只是 `algorithmic` 的命令都是大写, `algorithmicx` 的命令都是首字母大写, 其他小写 (EndFor 两个大写)。下面是 `algorithmic` 的基本命令还有 `algorithm2e, latex` 的与 `algorithm` 相关的包常用的有几个, `algorithm`、`algorithmic`、`algorithmicx`、`algorithm2e`, 可以大致分成三类, 或者说三个排版环境。最原始的是使用 `algorithm+algorithmic`, 这个最早出现, 也是最难用的, 需要自己定义一些指令。第二个排版环境是 `algorithm+algorithmicx`, `algorithmicx` 提供了一些宏定义和一些预定义好了的环境 (layout), 指令类似 `algorithmic`。第三个是 `algorithm2e`, 只需要一个包, 使用起来和编程的感觉很像, 也是我更倾向使用的包。下面是使用 `algorithm2e` 的例子。[1]

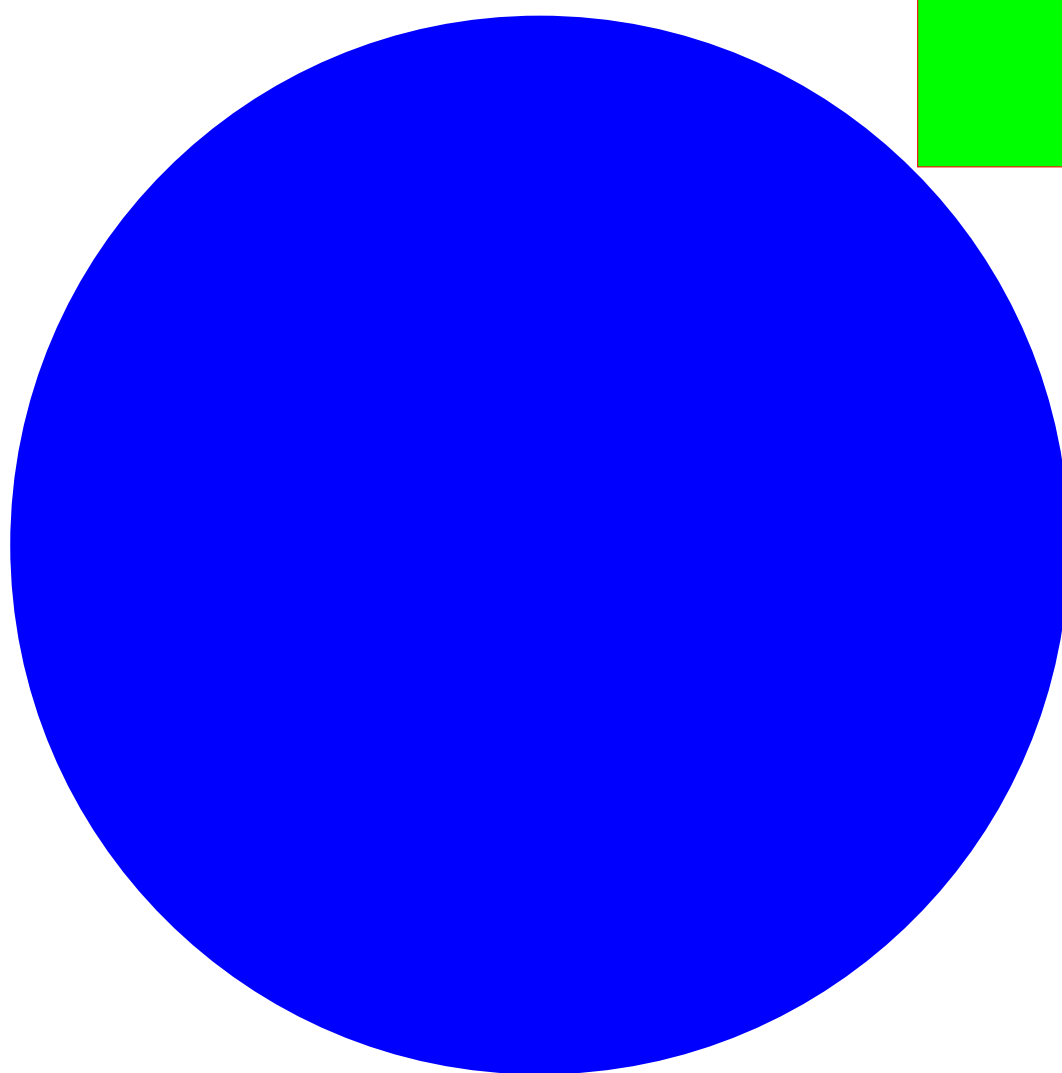
#### 4.2 超链接

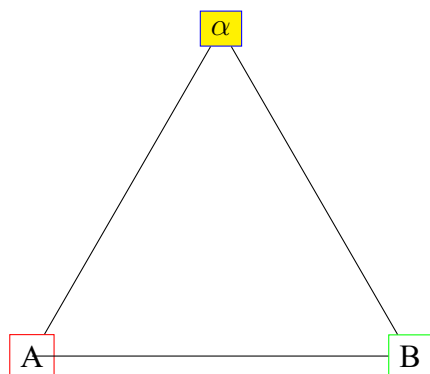
需要的宏包 `hyperref`,



### 4.3 插入图片

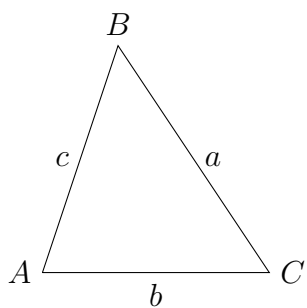
### 4.4 tikz 绘图





三种标准文类的章节命令与层次深度

层次深度	层次名	book	report	article
-1	part	<code>\part</code>	<code>\part</code>	
0	chapter	<code>\chapter</code>	<code>\chapter</code>	<code>\part</code>
1	section	<code>\section</code>	<code>\section</code>	<code>\section</code>
2	subsection	<code>\subsection</code>	<code>\subsection</code>	<code>\subsection</code>
3	subsubsection	<code>\subsubsection</code>	<code>\subsubsection</code>	<code>\subsubsection</code>
4	paragraph	<code>\paragraph</code>	<code>\paragraph</code>	<code>\paragraph</code>
5	subparagraph	<code>\subparagraph</code>	<code>\subparagraph</code>	<code>\subparagraph</code>



```

1 public class Main {
2     public static void main( String [] args )
3     {
4         System.out.println ( "Hello , World" );
5     }
6 }

```

---

## 5 Latex 字体

### 5.1 Latex 字母的三种类体

正体 R

1 `$\rm{R}$`

花体 1  $\mathcal{R}$

1 `$\mathcal{R}$`

花体 2  $\mathbb{R}$

1 `$\mathbb{R}$`

花体 3  $\mathscr{R}$

1 `$\mathscr{R}$`